

СТИМУЛИРОВАННАЯ ВОДОРОДОМ ДИФФУЗИЯ ПРИМЕСЕЙ ЧЕРЕЗ МЕМБРАНЫ ИЗ ПАЛЛАДИЕВЫХ СПЛАВОВ

*В. В. Латышев, В. Г. Гурьянов, М. Ю. Аслиддинова, И. И. Чоловян,
Г. И. Миронова*

Установлено [1, 2], что атомы примесей аномально быстро проникают в твердые тела, если они внедряются в приповерхностные слои одновременно с водородом, например, из ионных пучков или из разряда, т. е. водород стимулирует диффузационные процессы в металлах.

Условия этих экспериментов, однако, далеки от равновесных. Поэтому представляет интерес изучение влияния водорода на подвижность примесей в от-

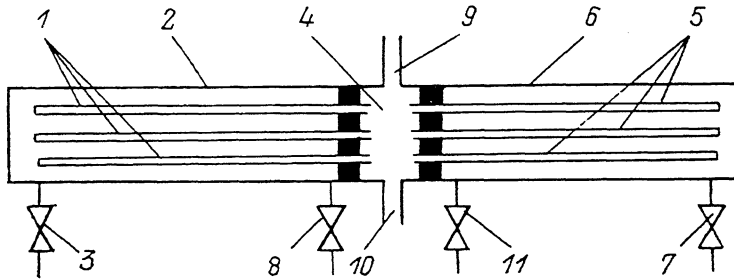


Рис. 1. Ячейка двойной диффузационной фильтрации.

носительно «мягких» термодинамических условиях, в частности при насыщении металла из газовой фазы. Эта задача имеет и важное практическое значение, например для оптимизации технологии получения водорода сверхвысокой чистоты (содержание примесей в водороде менее 10^{-7} объемных долей). Водород такой степени чистоты может быть получен диффузией через непористые металлические мембранные из сплавов палладия при некоторых специальных режимах фильтрации [3].

Для решения поставленной задачи использована ячейка двойной диффузационной фильтрации, позволяющая накапливать и концентрировать примеси в межмембранном объеме (рис. 1). В качестве мембран были использованы капиллярные фильтрующие элементы $\varnothing 1.2/1.0$ мм из сплава В-1 с общей рабочей площадью $\sim 70 \text{ см}^2$. Давление и состав примесей контролировались термопарным манометрическим преобразователем и масс-спектрометром с масляной откачкой.

Эксперименты проводились на испытательном стенде, включающем систему подготовки газов и водородосодержащих газовых смесей заданного состава при заданных температуре и давлении; систему вакуумирования всех узлов стенда и фильтров, а также систему измерения температуры, давлений и потоков проходившего через мембранные водорода.

Эксперименты по анализу диффузионно очищенного водорода показали, что при обычных условиях фильтрации (500°C , $P > 0.1 \text{ МПа}$; откачка на выходе масляным насосом ВН-461 М) чистота водорода не превышает 99.9998 % даже после достаточно длительной тренировки фильтра и коммуникаций, что значительно ниже оценочных (теоретических) значений. Характерный спектр примесных газов для этого случая приведен на рис. 2. Видно, что основную часть накопившихся в аналитическом объеме примесей составляют вещества с массовыми числами 15 и 16, которые идентифицированы как CH_4 и CH_3 . При этом сигналы H_2O и N_2 соответствуют фоновым значениям.

Для выяснения механизма поступления примесей были поставлены следующие эксперименты. Во-первых, через аналитический объем пропускалось заданное количество диффузионно очищенного водорода 10, 20, 100 дм³ и соответственно измерялось количество накопившихся примесей. Оказалось, что оно составляет соответственно 10^{-5} , $2 \cdot 10^{-5}$, 10^{-4} дм³ и во всех случаях пропорционально количеству продиффундированного водорода. При этом масс-спектр примесей практически не изменялся (рис. 2). При оптимизации режима фильтрации количество концентрируемых примесей удавалось значительно (на порядки) снизить, но тем не менее во всех случаях оно оставалось пропорциональным количеству водорода, прошедшему через диффузионную ячейку.

Во второй серии экспериментов аналитическая камера выдерживалась различное время под давлением водорода (0.3 МПа, до 2 ч). Однако это не приво-

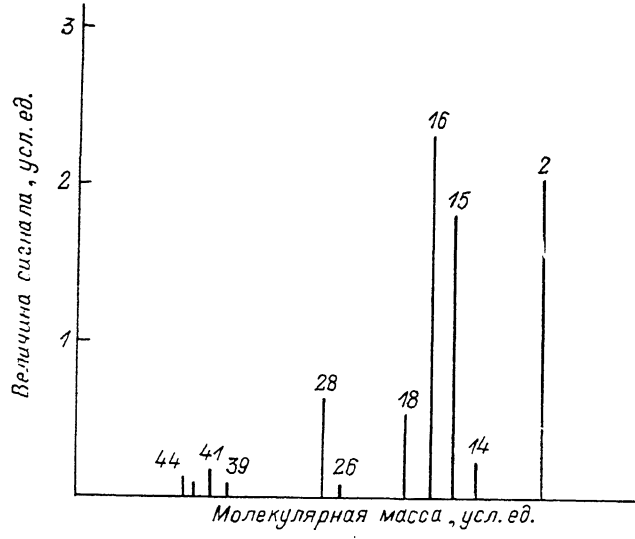


Рис. 2. Характерный спектр примесных газов в аналитическом объеме после фильтрации водорода при температуре 500 °С.

дило к появлению в ней указанных углеводородных примесных компонент. Таким образом, проведенные эксперименты указывали на возможность проникновения углерода через мембранный фильтрующий элемент.

В последующих испытаниях было установлено, что инертные газы (He, Ar, N₂ и др.), подаваемые на вход мембран при рабочих температурах и давлениях (0.3 МПа, 500 °С), не проникают на ее выходную сторону (вплоть до возможных загрязняющих количеств на уровне 10^{-8}). Если же на вход мембран подавались углеводороды (C₃H₈, C₄H₁₀ и др.; 0.3 МПа, 500 °С), то на выходе регистрировался заметный поток водорода, но примесные углеводородные компоненты при этом не обнаруживались. Напротив, добавки водорода (до 90 %) и углеводородная смесь приводили к резкому (на два порядка) увеличению углеводородных примесей на выходной стороне мембраны.

Аналогичные эксперименты при различных термодинамических условиях работы мембран были проведены и на других смесях (O₂—H₂; N₂—H₂ и т. д.). Во всех случаях масс-спектр примесных атмосфер аналитического объема показывал наличие соответствующих пиков примеси, т. е. наблюдался эффект стимуляции диффузии примеси водородом, проникающим через мембрану.

Весьма характерными являются эксперименты по фильтрации водорода из смеси с кислородом (1—10 % O₂). Оказалось, в частности, что чистота водорода при температуре фильтрации 500 °С и давлении 0.1—0.4 МПа составляет 99.9997—99.9999 %. В фильтре обнаруживается большое количество воды. Причем с ростом давления исходной смеси количество воды в фильтрате увеличивается, а количество углеводородных примесей снижается. Вероятно, часть углеродных атомов на входной стороне мембранны связывается с кислородом и выводится из процесса массопереноса через мембрану.

В целом же количество примесных компонент, диффундирующих совместно с водородом, изменялось более чем на два порядка и существенно зависело от давления, концентраций исходной смеси, температуры и предыстории фильтрующих элементов. Проведенные испытания позволили найти режимы фильтрации, оптимальные для изучения высокочистого водорода. Содержание примеси в фильтрате удалось снизить до $\sim 10^{-8}$ объемных долей.

Выводы

При одновременном проникновении водорода скорость диффузии примесных компонент через мембрану может существенно (на 2 порядка) увеличиваться, т. е. наблюдается стимуляция водородом диффузии примесей. Ячейка двойной диффузионной фильтрации может быть использована для анализа высокочистого водорода (менее 10^{-7} — 10^{-8} объемных долей примеси). Металлические диффузионные мембранны на основе палладиевых сплавов позволяют получить высокочистый водород (содержание примесей менее 10^{-7} — 10^{-8} объемных долей).¹

Список литературы

- [1] Гуревич М. Е., Красюк А. Д., Лариков Л. Н. // Металлофизика. 1987. Т. 9. № 6. С. 94—96.
- [2] Буравлев Ю. М., Милославский А. Т., Троценко А. Н. // III Всесоюз. семинар «Диагностика поверхности ионными пучками». Донецк, 1988. С. 234—235.
- [3] Латышев В. В. // Атомная энергия. 1990. Т. 68. С. 38—44.

Донецкий государственный медицинский
инstitut им. А. М. Горького

Поступило в Редакцию
20 октября 1990 г.

06

© 1991 г.

Журнал технической физики, т. 61, в. 9, 1991

УСТОЙЧИВОСТЬ ПОЛЯРИЗОВАННОГО СОСТОЯНИЯ СЕГНЕТОЭЛЕКТРИЧЕСКИХ ПЛЕНОК $\text{Sn}_2\text{P}_2\text{S}_6$

Е. Д. Рогач, Е. А. Арнаутова, Э. А. Савченко, Н. А. Корчагина, Л. П. Баринов

Сегнетоэлектрические тонкие пленки $\text{Sn}_2\text{P}_2\text{S}_6$ обладают высокой пьезочувствительностью при объемном возбуждении^[1] и перспективны для применения их в пьезоэлектрических устройствах. Поэтому важной проблемой является устойчивость поляризованного состояния пленок, которой и посвящена данная работа.

Исследуемые пленочные образцы являлись поликристаллическими, имели толщину от 5 до 20 мкм. Благодаря столбчатому механизму роста линейные размеры кристаллитов были близки к толщине пленок. Для измерений использовались алюминиевые электроды, один из которых служил подложкой, а другой напылялся на свободную поверхность пленочного образца. Пленки $\text{Sn}_2\text{P}_2\text{S}_6$ имели размытый фазовый переход в области 70 °С и величину остаточной поляризованности 0.6 мКл/см².

Известно, что явление диэлектрического старения сегнетоэлектриков сопровождается времененным спадом диэлектрической проницаемости ϵ и изменением других физических характеристик объекта. В основе этих изменений лежит закрепление или перестройка доменной структуры. В ряде работ^[2] было показано, что у сегнетоэлектриков-полупроводников преобладает процесс закрепления существующей доменной структуры, причем у сегнетоэлектриков-фотопроводников освещение светом с длиной волны, соответствующей максимуму фотопроводимости